

## U(IV)-U(VI)同位素交换反应动力学研究

### I. Fe<sup>2+</sup>对U(IV)-U(VI)同位素交换反应的催化作用

杨恩波 张桂芹 王似铁 苏友仁 徐宝兰 袁斯鸣 赵墨田 李思林

(中国原子能科学研究院, 北京)

关键词 <sup>233</sup>U, U(IV)-U(VI), Fe<sup>2+</sup>, 催化剂, 同位素交换反应速度。

### 一、前言

由于U(IV)-U(VI)同位素交换体系具有相当大的同位素效应和很好的稳定性, 并且容易实现两相回流, 这对于分离U同位素的工业应用都是十分有利的。但是, U(IV)-U(VI)同位素交换反应速度非常慢, 常温下H<sup>+</sup>浓度为1.0—4.0 mol/l时, 速度常数为 $1.0 \times 10^{-4} l^2/mol \cdot s$ 。因此要用U(IV)-U(VI)交换体系浓缩铀同位素, 必须研究U(IV)-U(VI)交换反应动力学, 找到加快交换反应的方法。

E. Rona<sup>[1]</sup>用<sup>233</sup>U示踪法研究U(IV)-U(VI)交换反应的速度, 并用薄源α计数法测量<sup>233</sup>U从U(VI)向U(IV)的转移。M. Seko<sup>[2]</sup>曾采用贫化U(IV)与天然U(VI)进行交换, 最后用质谱分析测定<sup>235</sup>U的转移速度。七十年代A. Ekstron等<sup>[3]</sup>采用α液闪计数器测量<sup>233</sup>U的转移速度, 提高了测量精度。本文采用固体薄源α计数法进行测定。

### 二、<sup>233</sup>U示踪法测定交换速度的原理

在同位素交换反应



中, U\*表示<sup>233</sup>U标记的铀化合物。

设a为U(IV)浓度, b为U(VI)浓度; x为示踪剂在U(IV)中的浓度, y为U(VI)中示踪剂的浓度。

<sup>233</sup>U在U(IV)中的增长速度可用下式表示:

$$\frac{dx}{dt} = R \left( \frac{y}{b} - \frac{x}{a} \right) \quad (1)$$

式中R为交换速度。设:

t=0时, x=x<sub>0</sub>, y=y<sub>0</sub>

t=∞时, x=x<sub>∞</sub>, y=y<sub>∞</sub>

且

$$x + y = x_{\infty} + y_{\infty} \quad (2)$$

$$ay_{\infty} = bx_{\infty} \quad (3)$$

根据(1—3)式可得

$$R = \frac{-\ln(1-F)}{(a+b)t} a \cdot b \quad (4)$$

式中

$$F = \frac{x_t - x_0}{x_\infty - x_0} \quad (5)$$

为交换分数。(4)式可写成

$$R = kab \quad (6)$$

$$k = \frac{-\ln(1-F)}{(a+b)t} \quad (7)$$

$k$  定义为速度常数。因此，只要测得交换分数  $F$ ，就可计算出 U(IV)-U(VI) 交换反应的速度常数  $k$ 。

### 三、实 验

#### 1. 仪 器 和 试 剂

$FJ$  通用闪烁计数器，北京 261 厂出品。721-2 型分光光度计，湖南益阳仪器厂。 $^{233}U$  示踪剂，堆辐照元件经后处理提取  $^{233}U$ ，再用阴离子交换剂纯化。U(VI) 溶液为金属 U 用盐酸加  $H_2O_2$  溶解， $K_2Cr_2O_7$  标定；U(IV) 溶液由 U(VI) 溶液用 Zn-Hg 齐还原制备。

其他试剂均为分析纯。

#### 2. 实 验 步 骤

(1) 交换 将一定浓度 $^{233}U$ (VI) 加到天然 U(VI) 溶液中，调至适当酸度；将另一份 U(IV) 溶液，加入一定量  $Fe^{2+}$  和 HCl。将上二份溶液除氧，置于恒温槽中达预定温度，迅速将两份溶液混合，混合时即交换开始( $t=t_0$ )，交换一定时间  $t$ ，取样分析。

(2) 停止交换和 U(IV)，U(VI) 分离 用定量取样器迅速取样 0.1 ml，加入先准备好的小离子交换柱上，柱中先加 1.0 ml 0°C 盐酸 (4 mol/l) 溶液，使样品温度降低到 10°C 以下，并用氮气加压，迅速分离。分离过程中，将 U(IV) 和 U(VI) 流分分别收集于平板玻璃测量盘中，制成固体源，源厚  $100 \mu g/cm^2$ ，直接在  $\alpha$  计数器上进行测量。

### 四、结 果 和 讨 论

#### 1. 无催化剂存在时 U(IV)-U(VI) 交换反应的速度

在常温下试验了 U(IV)-U(VI) 交换过程中  $^{233}U$  从 U(VI) 向 U(IV) 的转移速度，交换介质为 4.0 mol/l 盐酸。结果列于表 1 中。经 96 小时的交换， $^{233}U$  从 U(VI) 向 U(IV) 的转移量很小或没有明显的转移。说明该条件下交换速度非常慢。

将上述交换体系的温度提高到 63°C，交换速度明显增加。从交换分数  $F$  对时间  $t$  的关系曲线上(图 1) 确定其半交换时间为 10 小时。可见反应速度还是相当慢，按式(7)计算其速度常数为  $4.6 \times 10^{-4} l^2/mol \cdot s$ 。文献给出的值为  $1.0 \times 10^{-4} l^2/mol \cdot s$  ( $1.0-4.0 \text{ mol/l HCl}$ ，常温)。

表 1 U(IV)-U(VI)同位素交换 (介质4.0 mol/l HCl)

交换时间/h	0	0.2	0.5	1.0	1.5	.....	96
U(IV)中 $\alpha$ 放射性/%	0.081	0.088	0.080	0.079	0.091	.....	0.083

## 2. 存在催化剂 $\text{Fe}^{2+}$ 时的 U(IV)-U(VI) 交换反应速度

(1)  $\text{Fe}^{2+}$  的催化作用 在4.0 mol/l 盐酸介质中控制温度63°C, 使U(IV)和U(VI)浓度为0.02 mol/l。比较存在  $\text{Fe}^{2+}$  和不存在  $\text{Fe}^{2+}$  时的交换过程, 结果如图2所示。从  $\ln(1-F)$ -t曲线上可以看出, 存在  $\text{Fe}^{2+}$  时交换速度显著增加。按式(7)计算速度常数k分别为  $7.5 \times 10^{-2}$  和  $4.6 \times 10^{-1}$  mol·s, 交换反应速度提高两个数量级以上。

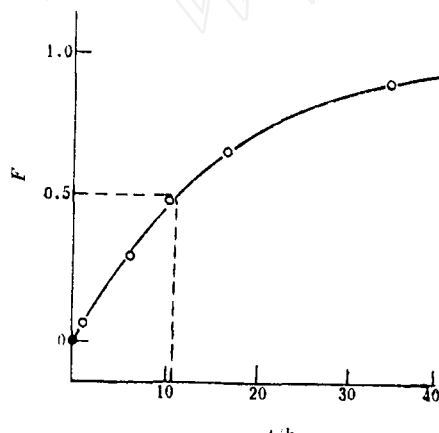


图 1 U(IV)-U(VI) 交换  $F$ -t 曲线  
63°C, 4.0 mol/l HCl。

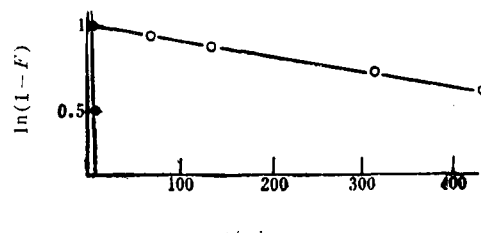


图 2  $\ln(1-F)$ -t 曲线  
63°C, 4.0 mol/l HCl  
○—— $[\text{Fe}^{2+}] = 0$ ; ●—— $[\text{Fe}^{2+}] = 0.4 \text{ mol/l}$ 。

在氧化还原排代色谱浓缩U同位素的实验中, 比较了  $\text{Fe}^{2+}$  存在与否对浓缩效果的影响, 实验条件和结果列于表2。可以看出存在0.4 mol/l  $\text{Fe}^{2+}$  的交换体系对 $^{235}\text{U}$ 的浓缩效果明显地高, 这就从实际分离过程证实  $\text{Fe}^{2+}$  对U(IV)-U(VI)的催化作用。

表 2  $\text{Fe}^{2+}$  对铀同位素浓缩效果的影响

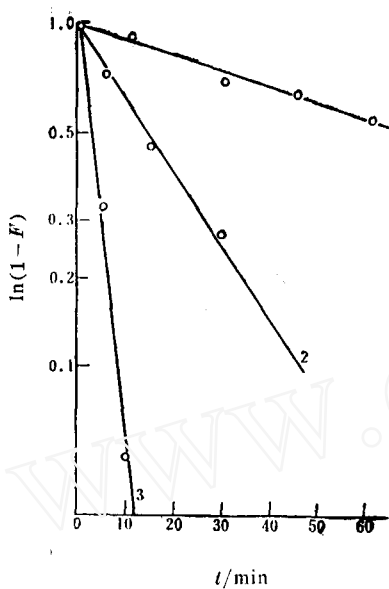
柱尺寸, 内径×高/mm	温 度/°C	$\text{Fe}^{2+}$ 浓度/mol·l <sup>-1</sup>	谱带后界面 $^{235}\text{U}$ 丰度/%
15×1000	70	0.4	0.7383
15×1000	70	0	0.7292

(2) 存在  $\text{Fe}^{2+}$  时 U(IV)-U(VI) 交换反应活化能 按阿累尼乌斯公式, 速度常数可表示为

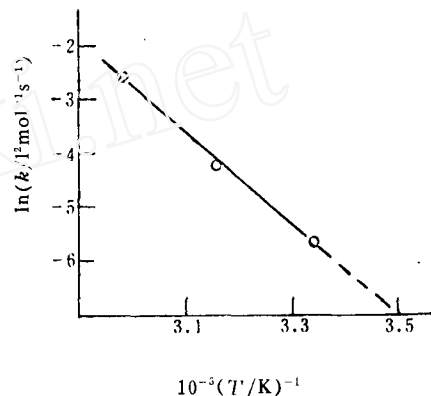
$$k = A e^{-E_a/RT} \quad (8)$$

或

$$\ln k = \ln A - E_a/RT \quad (9)$$

图 3  $\ln(1-F')$ -t 曲线

$[\text{HCl}] = 4.0 \text{ mol/l}$ ;  $[\text{Fe}^{2+}] = 0.4 \text{ mol/l}$ ;  $[\text{U(IV)}] = [\text{U(VI)}] = 0.021 \text{ mol/l}$   
温度 1—26°C; 2—43°C; 3—63°C。

图 4  $\ln k - \frac{1}{T}$  曲线

式中  $E_a$  为活化能。在不同温度下研究  $\text{Fe}^{2+}$  存在时的交换反应，实验结果示于图 3。从图 3 中曲线的斜率求出 26, 43 和 63°C 时的反应速度常数  $k$ ，并按  $\ln k - \frac{1}{T}$  曲线（图 4），求出其斜率  $E_a$  活化能值为 73.6 kJ/mol。H. Tomiyasu 等<sup>[4]</sup>曾在盐酸介质中测得 U(IV)-U(VI) 交换反应的活化能， $E_a = 134.6 \text{ kJ/mol}$ 。 $\text{Fe}^{2+}$  使交换反应活化能明显降低，这就从速度常数的理论上说明  $\text{Fe}^{2+}$  的催化作用。

(3)  $\text{Fe}^{2+}$  的催化作用与盐酸浓度的关系 实验表明  $\text{Fe}^{2+}$  的催化作用与盐酸浓度有关。当盐酸浓度降至 2.0 mol/l 以下时， $\text{Fe}^{2+}$  (0.4 mol/l) 几乎无明显催化作用，经五十分钟的交换，未发现  $^{233}\text{U}$  从 U(VI) 向 U(IV) 的明显转换；而在同样情况下，在 4.0 mol/l 盐酸介质中，其交换分数接近于 1。H. Kakihana<sup>[5]</sup> 在研究中也曾发现 U(IV)-U(VI) 交换反应在 2-3 mol/l 盐酸介质中速度很低，盐酸浓度增加，反应速度也随着增加。后者在交换体系中未引入  $\text{Fe}^{2+}$ 。

### 参 考 文 献

- [1] Rona, E., J. Am. Chem. Soc., 72, 4339(1950).
- [2] Seko, M. et al., U S Patent 4049769.
- [3] Ekstron, A. et al., J. Inorg. Nucl. Chem., 36, 2355(1974).
- [4] Tomiyasu, H. et al., J. Inorg. Nucl. Chem., 30, 2501(1968).
- [5] Yasuhiko Fujii and KaKihana, H., J. Nucl. Sci. Technol., 15, 745(1978).

(编辑部收到日期：1985 年 6 月 13 日)

## THE KINETIC STUDY ON U(IV)-U(VI) ISOTOPIC EXCHANGE REACTION

### I. THE CATALYTIC EFFECT OF $\text{Fe}^{2+}$ IN THE U(IV)-U(VI) ISOTOPIC EXCHANGE REACTION

YANG ENBO ZHANG GUIQING WANG SHIE SU YOUNREN  
XU BAOLAN YUAN SIMING ZHAO MUOTIAN LI SILIN

(Institute of Atomic Energy, P. O. Box 275, Beijing)

#### ABSTRACT

The kinetics of the U(IV)-U(VI) isotopic exchange reaction was studied with  $^{233}\text{U}$  as tracer in hydrochloric acid of high concentration. The catalytic effect of  $\text{Fe}^{2+}$  in the U(IV)-U(VI) isotopic exchange reaction was observed in the presence of hydrochloric acid of high concentration. The exchange rate was found to be accelerated by  $10^2$  times because of the addition of  $\text{Fe}^{2+}$ . The activation energy was calculated to be 73.6 kJ/mol for the  $\text{Fe}^{2+}$  catalyzed U(IV)-U(VI) isotopic exchange reaction. This value is much smaller than that of 134.6 kJ/mol which was found in the non-catalytic reaction.

**Key words**  $^{233}\text{U}$ , U(IV)-U(VI),  $\text{Fe}^{2+}$ , catalyst, Isotopic exchange reaction Velocity.

## HNO<sub>3</sub>-TBP-煤油体系中RuNO络合物分配系数测定

黄 浩 新 刘 兰 珍

(中国原子能科学研究院, 北京)

**关键词** RuNO 硝酸根络合物, TBP, 分配系数。

#### 一、引 言

在 HNO<sub>3</sub>-TBP-煤油体系中 RuNO 硝酸根和亚硝酸根络合物的分配系数, 前人做了一些工作, A. A. Siczek 等作了综合评论<sup>[1]</sup>。从所列出的数据来看, 不同作者给出的结果差别相当大。这可能是由于各个作者所控制的实验条件不尽相同, 因而 RuNO 络合物各种组分的含量不同等因素所造成的。后来 D. J. Pruett<sup>[2]</sup>比较详细地研究了混合的 RuNO 硝酸根络合物在 HNO<sub>3</sub>-TBP-正十二烷体系中的分配系数, 做了萃取酸度、时间、TBP 以及 DBP、硝酸根浓度等对分配系数的影响。

本文是在 Pruett 工作的基础上测定了 RuNO 硝酸根和亚硝酸根络合物在 HNO<sub>3</sub>-TBP-